

กล ไกการแตกหักเนื่องจากอัตราความเครียดในเหล็กกล้าไร้สนิม 304

นายศุภฤกษ์ บุญเที่ยร

ศูนย์วิทยทรัพยากร จพกองกรณ์มหาวิทยาลัย

วิทยานิพนธ์นี้เป็นส่วนหนึ่งของการศึกษาตามหลักสูตรปริญญาวิทยาศาสตร์มหาบัณฑิต

สาขาวิชานิวเคลียร์เทคโนโลยี ภาควิชานิวเคลียร์เทคโนโลยี

คณะวิศวกรรมศาสตร์ จุฬาลงกรณ์มหาวิทยาลัย

ปีการศึกษา 2545

ISBN 974-17-2673-2

ลิขสิทธิ์ของจุฬาลงกรณ์มหาวิทยาลัย

STRAIN RATE DAMAGE MECHANISM OF 304 STAINLESS STEEL

Mr. Supparerk Boontein

ศูนย์วิทยทรัพยากร
จุฬาลงกรณ์มหาวิทยาลัย
A Thesis Submitted in Partial Fulfillment of the Requirements
for the Degree of Master of Science in Nuclear Technology

Department of Nuclear Technology

Faculty of Engineering

Chulalongkorn University

Academic Year 2002

ISBN 974-17-2673-2

หัวข้อวิทยานิพนธ์

โดย

สาขาวิชา

อาจารย์ที่ปรึกษา

อาจารย์ที่ปรึกษาร่วม

กล ไกการแตกหักเนื่องจากอัตราความเครียดในเหล็กกล้าไฮสันม 304

นายศุภฤกษ์ บุญเทียร

นิวเคลียร์เทคโนโลยี

ผู้ช่วยศาสตราจารย์ ดร.วิศิษฐ์ ทวีปรงษ์พร

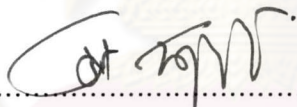
อาจารย์เดชา ทองอร่าม

คณะกรรมการคัดเลือกนักเรียน
เป็นส่วนหนึ่งของการศึกษาตามหลักสูตรบริณญาณhavenที่
อนุมัติให้นับวิทยานิพนธ์ฉบับนี้

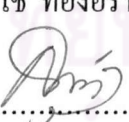

..... คณะบดีคณะวิศวกรรมศาสตร์
(ศาสตราจารย์ ดร.สมศักดิ์ ปัญญาแก้ว)

คณะกรรมการสอบวิทยานิพนธ์


..... ประธานกรรมการ
(รองศาสตราจารย์ ชยกริต ศิริอุปถัมภ์)


..... อาจารย์ที่ปรึกษา
(ผู้ช่วยศาสตราจารย์ ดร.วิศิษฐ์ ทวีปรงษ์พร)


..... อาจารย์ที่ปรึกษาร่วม
(อาจารย์เดชา ทองอร่าม)


..... กรรมการ
(รองศาสตราจารย์ สุวิทย์ ปุณณชัยยะ)

ศูภฤกษ์ บุญเที่ยร : กลไกการแตกหักเนื่องจากอัตราความเครียดในเหล็กกล้าไร้สนิม 304.
 (STRAIN RATE DAMAGE MECHANISM OF 304 STAINLESS STEEL) อ.ที่ปรึกษา :
 พศ.ดร. วิศิษฐ์ ทวีปรังษ์พิร, อ.ที่ปรึกษาร่วม : อ. เดโช ทองอร่าม, 84 หน้า. ISBN 974-17-
 2673-2

วัตถุประสงค์หลักของวิทยานิพนธ์คือ ศึกษากลไกการแตกหักจากผลของการดับอัตราความเครียดซึ่งต่อการเกิดการแตกหักจากการกัดกร่อนที่เกิดขึ้นกับเหล็กกล้าไร้สนิม 304 ที่ระดับอัตราความเครียดซึ่ง 4.0×10^{-7} ถึง 1.0×10^{-4} วินาที $^{-1}$ ในสภาวะจำลองที่ประกอบด้วยสารละลายผสมโซเดียมคลอไรด์ โซเดียมไฮโซลฟ์และกรดซัลฟูริก และอุณหภูมิห้อง พบความเสียหายที่เกิดขึ้นกับโครงสร้างจุลภาคของแต่ละชิ้นงานภายหลังถูกตรวจสอบด้วยกล้องจุลทรรศน์อิเล็กตรอนว่า ขนาดและความหนาแน่นของรอยแตกสัมพันธ์กับคุณสมบัติเชิงกลของชิ้นงาน และสามารถใช้อธิบายกลไกการแตกหักจากผลของการดับอัตราความเครียดซึ่งที่วิเคราะห์ทำให้ชิ้นงานมีความไวต่อการแตกหัก เนื่องจากอัตราความเครียดซึ่งมีผลต่ออัตราการแตกของฟิล์ม อัตราการสร้างฟิล์มขึ้นใหม่และอัตราการกัดกร่อนบริเวณรอยแตกของฟิล์ม ความเสียหายที่เกิดขึ้นเมื่อถูกอธิบายโดยใช้แบบจำลองความเสียหาย Strain-rate Damage Model ของ Gerber และ Garud พบว่า เป็นไปตามความสัมพันธ์ $D = \int_0^t A [\dot{\varepsilon}]^p dt$ ผลการเข้าร่วมของสภาวะกัดกร่อนจากสารละลายที่ทำให้เกิดการแตกหักในชิ้นงานสามารถแสดงด้วยค่า $p < 1$ ส่วนความเสียหายที่เกิดจากคุณสมบัติเชิงกลเพียงอย่างเดียวจะแสดงด้วยค่า $p \sim 1$

นอกจากนี้ระดับค่า p ที่น้อยกว่า 1 ในกรณีที่ต้องการลดผลกระทบของการเขื่อนต่อกันของโครงสร้างแล้วก็ต้องลดผลกระทบของการเข็นซิไทเซชันที่ระดับต่ำกว่า ก็ต้องได้รับค่า p สามารถใช้เป็นตัวบ่งชี้ถึงระดับการเปลี่ยนแปลงในโครงสร้างจุลภาคของวัสดุจากการเข็นซิไทเซชัน ซึ่งอาจนำมาใช้เป็นวิธีการทดสอบโครงสร้างจุลภาคของวัสดุก่อนการใช้งานได้

จุฬาลงกรณ์มหาวิทยาลัย

ภาควิชา นิวเคลียร์เทคโนโลยี
 สาขาวิชา นิวเคลียร์เทคโนโลยี
 ปีการศึกษา 2545

ลายมือชื่อนิสิต..... ดุราษฎร์ บุญเที่ยร
 ลายมือชื่ออาจารย์ที่ปรึกษา.....
 ลายมือชื่ออาจารย์ที่ปรึกษาร่วม.....

##4370527321 : MAJOR NUCLEAR TECHNOLOGY

KEY WORD : SLOW STRAIN RATE TENSILE TEST / DAMAGE MECHANISM / STRESS

CORROSION CRACKING

SUPPARERK BOONTEIN : STRAIN RATE DAMAGE MECHANISM OF 304 STAINLESS STEEL. THESIS ADVISOR : ASST.PROF.DR. VISIT THAVEEPRUNGSRIPOORN, THESIS CO-ADVISOR : DECHO THONG-ARAM, 84 pp. ISBN 974-17-2673-2

The objective of this research was to study the strain rate damage mechanism of 304 stainless steel by using the slow strain rate tensile test in a range of 4.00×10^{-7} to $1.10 \times 10^{-4} \text{ sec}^{-1}$ in solutions containing either NaCl or $\text{Na}_2\text{S}_2\text{O}_3 \cdot 5\text{H}_2\text{O}$ and H_2SO_4 at ambient temperature. Investigation of specimens' surface using scanning electron microscope (SEM) revealed that crack size and density closely related to mechanical properties, and can be used to describe the damage caused by strain rate. At critical strain rate, specimens are highly embrittled as a result of interaction between the rupture film, the passivation of film, and corrosion rate at rupture area as

described by Gerber and Garud model, which $D = \int_0^t A [\dot{\varepsilon}]^p dt$. Stress Corrosion Cracking

resulted from the interaction of an aggressive environment and strain rate showed p-value smaller than 1, $p < 1$, while specimens which failed mechanically show $p \sim 1$.

The p-value of lower than 1 demonstrates good correlation with the chromium-carbide linkage at grain boundaries at different level of sensitization. It can be concluded that the p-value can be used as an index to indicate the level of sensitization and may be adopted as a method for sensitization tool.

จุฬาลงกรณ์มหาวิทยาลัย

Department Nuclear Technology

Student's signature.....

Field of study Nuclear Technology

Advisor's signature.....

Academic year 2002

Co-advisor's signature.....

กิตติกรรมประกาศ

สำหรับความสำเร็จที่เกิดขึ้นในงานวิจัยนี้ผู้เขียนขอขอบพระคุณ พศ.ดร.วิศิษฐ์ ทวีปรังษีพิร อาจารย์ที่ปรึกษาวิทยานิพนธ์ และอาจารย์เดโช ทองอร่าม อาจารย์ที่ปรึกษาวิทยานิพนธ์ร่วม เป็นอย่างสูงที่ให้ความรู้ ให้คำปรึกษา และคำแนะนำที่ดี เพื่อเป็นแนวทางในการทำวิทยานิพนธ์ และขอขอบพระคุณอาจารย์ในภาควิชานิเวศลีร์เทคโนโลยีทุกท่าน ที่ให้ความรู้และคำปรึกษาตลอดระยะเวลาที่ทำการศึกษาที่ภาควิชา ขอขอบคุณบริษัทไทยนืออคซ์ สตีล จำกัด ที่กรุณามอบเงินเดือนเพื่อเหลือกคล้าไว้สนิม 304 เพื่อใช้ทดลองในงานวิจัย ขอขอบคุณเจ้าหน้าที่ศูนย์เครื่องมือวิจัยวิทยาศาสตร์ และเทคโนโลยี จุฬาลงกรณ์มหาวิทยาลัย สำหรับความช่วยเหลือในการใช้กล้องจุลทรรศน์อิเล็กตรอน นอกจากนี้ งานวิจัยคงจะสำเร็จลุล่วงไปไม่ได้หากไม่ได้รับกำลังใจ แรงผลักดันและความช่วยเหลืออย่างดีเยี่ยมในทุกด้านจากเพื่อน พี่และน้องทุกท่านในภาควิชานิเวศลีร์เทคโนโลยี จึงขอขอบคุณเพื่อน พี่และน้องทุกท่านไว้ ณ ที่นี่ด้วยความจริงใจ

ท้ายนี้สำหรับกำลังใจที่ได้รับอย่างแรงกล้า และแรงผลักดันที่ดีเยี่ยม ขอกราบขอบพระคุณบิดา มารดา ในทุกสิ่งที่ดีที่มอบแก่ข้าพเจ้าเสมอมา รวมถึงกำลังใจที่ได้รับจาก ลุง ป้าและพี่น้อง ขอขอบคุณพี่กิตติ นุญประคอง และพี่สุกาวดี จันทร์น้อย ที่ให้ความช่วยเหลืออย่างดีเยี่ยมตลอดระยะเวลาที่ทำการศึกษา

ศูนย์วิทยทรัพยากร
จุฬาลงกรณ์มหาวิทยาลัย

สารบัญ

หน้า

บทคัดย่อภาษาไทย.....	๑
บทคัดย่อภาษาอังกฤษ.....	๑
กิตติกรรมประกาศ.....	๙
สารบัญตาราง.....	ญ
สารบัญภาพ.....	ฉ
บทที่	
1. บทนำ.....	๑
1.1 ความเป็นมาของปัญหา.....	๑
1.2 วัตถุประสงค์.....	๔
1.3 ขอบเขตของวิทยานิพนธ์.....	๔
1.4 ขั้นตอนและวิธีการในการดำเนินงานวิจัย.....	๔
1.5 ประโยชน์ที่คาดว่าจะได้รับจากการวิจัยนี้.....	๔
1.6 งานวิจัยที่เกี่ยวข้อง.....	๕
2. กลไกการแตกหักจากผลของความเดินและการกัดกร่อน.....	๗
2.1 การกัดกร่อนด้วยผลของความเดิน.....	๗
2.2 การกัดกร่อนเนื่องจากผลของความเดินที่บริเวณขอบเกรนในเหล็ก กล้าไร้สนิม.....	๑๐
2.3 ผลของสภาวะแวดล้อมที่ประกอบด้วยคลอร์ไฮดอนสารประกอบ ชัลเฟอร์และสารละลายไทโอดีซัลเฟต ที่มีผลต่อการเกิดการกัดกร่อน ด้วยผลของความเดินในเหล็กกล้าไร้สนิม ๓๐๔.....	๑๖
2.3.1 สภาวะที่ประกอบด้วยคลอร์ไฮดอน.....	๑๖
2.3.2 สภาวะที่ประกอบด้วยองค์ประกอบชัลเฟอร์.....	๑๗
2.3.3 สภาวะที่ประกอบด้วยคลอร์ไฮดอนและ กรดโพลีไทดอนิก.....	๑๘
2.4 กลไกการแตกหักจากผลของความเดินและการกัดร่อน.....	๒๐
2.4.1 กลไกการเกิดการกัดกร่อนด้วยผลของความเดิน.....	๒๐
2.4.2 ผลของอัตราความเครียดช้าต่อความไวของวัสดุ ในการเกิดการกัดกร่อนด้วยผลของความเดิน.....	๒๕

สารบัญ(ต่อ)

	หน้า
3. เครื่องมือทดสอบแรงดึงอัตราความเครียดช้า.....	28
3.1 เครื่องมือทดสอบแรงดึงอัตราความเครียดช้าหลายระดับ.....	28
3.2 ชุดเกียร์เปลี่ยนระดับอัตราความเครียดช้า.....	31
3.3 อัตราการขีดออกและอัตราความเครียดช้า.....	34
3.4 เชลล์ไสสารเคมี.....	36
4. กระบวนการและอุปกรณ์ที่ใช้ในการทดลอง.....	40
4.1 ขั้นตอนการทดลอง.....	40
4.2 การเตรียมชิ้นงาน.....	41
4.3 การทดสอบชิ้นงานด้วยเครื่องมือทดสอบแรงดึงอัตราความเครียดช้า.....	43
5. ผลการทดลองและการวิเคราะห์.....	44
5.1 คำนำ.....	44
5.2 การทดสอบคุณสมบัติเชิงกลด้วยเครื่องมือทดสอบแรงดึงอัตราความเครียดช้า.....	44
5.3 ผลการตรวจสอบพื้นผิวชิ้นงานด้วยภาพถ่ายจากกล้องชุลทรรศน์อิเล็กตรอน.....	50
5.3.1 ผลการตรวจสอบการเกิด pit และรอยแตก บริเวณผิวด้านข้างของชิ้นงานเหล็กกล้าไร้สนิม 304.....	51
5.3.2 ผลการตรวจสอบการเกิด pit และรอยแตก บริเวณภาคตัดขวางของชิ้นงานเหล็กกล้าไร้สนิม 304.....	60
5.4 ความสัมพันธ์ระหว่างความเสียหายที่เกิดขึ้นจากผลของ SCC กับอัตราความเครียดช้าในแบบจำลอง strain-rate damage model ของ Gerber และ Garud จาก power law relation.....	65
6. สรุปและอภิปรายผลการทดลอง.....	75
6.1 ลักษณะความเสียหายที่พบในชิ้นงานเหล็กกล้าไร้สนิม 304.....	75
6.2 กลไกการแตกหักจากผลของอัตราความเครียดช้าต่อความเสียหาย ในชิ้นงานเหล็กกล้าไร้สนิม 304	75
6.3 Power Law Relations กับความไวของโครงสร้างเหล็กกล้าไร้สนิม ต่อการเกิด SCC	77

สารบัญ(ต่อ)

หน้า

รายการอ้างอิง.....	78
ภาคผนวก.....	81
ภาคผนวก ก.....	82
ประวัติผู้เขียนวิทยานิพนธ์.....	84



ศูนย์วิทยทรัพยากร จุฬาลงกรณ์มหาวิทยาลัย

สารบัญตาราง

ตาราง	หน้า
ตารางที่ 2.1 แบบจำลองกลไกการแพร่ขยายของรอยแตกจากการเกิด Stress corrosion cracking	21
ตารางที่ 3.1 อัตราความเครียดช้าที่ได้จาก SSRT Machine ภายหลังเพิ่มเติม variation gear-box.....	35
ตารางที่ 4.1 องค์ประกอบที่สำคัญทางเคมีในเหล็กกล้าไร้สนิม 304 ที่ใช้ในงานวิจัย.....	41
ตารางที่ 5.1 คุณสมบัติเชิงกลของชิ้นงานที่ทำการทดลองที่อัตราความเครียดช้าต่างกัน.....	47
ตารางที่ 5.2 ผลการเชื่อมต่อ กันของปริมาณการร้าบีดที่ขอนเกรน ในเหล็กกล้าไร้สนิม 304 จากผลของการดับการเชนซิไฟต่างกัน.....	49
ตารางที่ 5.3 ค่า p ที่ได้จากความชันกราฟระหว่างเวลาที่เหล็กกล้าไร้สนิม 304 เกิดความเสียหายและอัตราความเครียดช้าในแบบ log-scale.....	69
ตารางที่ 6.4 ค่า damage function ที่ได้จากความสัมพันธ์ power law relation ของเหล็กกล้าไร้สนิม 304.....	70

ศูนย์วิทยทรัพยากร
จุฬาลงกรณ์มหาวิทยาลัย

สารบัญภาพ

ภาพประกอบ	หน้า
รูปที่ 1.1 กราฟแสดงผลของอัตราความเครียดที่มีต่อการเกิด SCC ในอะลูมิเนียมแต่ละชนิด.....	2
รูปที่ 2.1 แผนภาพแสดงองค์ประกอบที่สำคัญในการเกิด Stress Corrosion Cracking	8
รูปที่ 2.2 Threshold Stress ของเหล็กกล้าไร้สนิมแต่ละชนิดใน 42% magnesium chloride.....	9
รูปที่ 2.3 ภาพถ่ายแสดงการเกิด SCC ในวัสดุ ทองเหลือง และ เหล็กคาร์บอน.....	9
รูปที่ 2.4 ความสัมพันธ์ระหว่าง เวลา-อุณหภูมิ-การตกตะกอน ในเหล็กกล้า ไร้สนิมอสติเนติก เกรด 316 (0.066%C).....	10
รูปที่ 2.5 ภาพแสดงการตกตะกอนของ โครเมียมcarbideที่บริเวณขอบเกรน จากผลของการเซนซ์ชิไทเซชัน ทำให้เกิด IGSCC ในเหล็กกล้าไร้สนิม.....	11
รูปที่ 2.6 แสดงถึงการลดลงอย่างรวดเร็วของอุณหภูมิบริเวณรอยเชื่อมของเหล็กกล้าไร้สนิม.....	12
รูปที่ 2.7 กราฟแสดงปริมาณ โครเมียมที่ลดลงบริเวณขอบเกรนเนื่องจาก การเกิด Cr ₂₃ C ₆ carbide ในเหล็กกล้าไร้สนิม 304(0.039%C) หลังจากได้รับความร้อนที่อุณหภูมิ 700 °C เป็นเวลา 10 ชั่วโมง.....	13
รูปที่ 2.8 กราฟแสดงการเกิดเซนซ์ชิไทเซชันของเหล็กกล้าไร้สนิม 18Cr-8Ni ที่มีปริมาณคาร์บอนผสมอยู่ในระดับต่างๆ กัน.....	14
รูปที่ 2.9 แสดงการเกิด SCC ในเหล็กกล้าไร้สนิม 304 ในสภาพของกรด โพลีไนโตริก ซึ่งเกิดจากความเค็นที่ตกลงจาก การเชื่อมวัสดุ.....	14
รูปที่ 2.10 แสดงการกระจายตัวของความเค็นที่เกิดขึ้นรอบบริเวณ รอยเชื่อมในเหล็กกล้าไร้สนิม.....	15
รูปที่ 2.11 ผลของ SCC ที่เกิดจากความสัมพันธ์ระหว่างอุณหภูมิและความ เชื้อมขึ้นของคลอรีโนนในเหล็กกล้าไร้สนิมชนิดอสติเนติก.....	17
รูปที่ 2.12 การเกิด anodic dissolution ที่บริเวณส่วนปลายของรอยแตก ที่ปราศจากฟิล์มปักลุม.....	22
รูปที่ 2.13 กลไกการเกิด SCC ในบริเวณที่เกิด slip plane.....	23

สารบัญ (ต่อ)

	หน้า
ภาพประกอบ	หน้า
รูปที่ 2.14 แสดงความสัมพันธ์ระหว่างอัตราการเกิดรอยแตกกับ anodic dissolution current ที่บีบริเวณ straining electrode surfaces.....	24
รูปที่ 2.15 กราฟแสดงผลของ strain rate ที่มีต่อความไวของวัสดุในการเกิด SCC.....	25
รูปที่ 2.16 แสดงกระบวนการเกิด Stress corrosion cracking จากผลของ อัตราความเครียดซ้ำที่วัสดุได้รับ.....	26
รูปที่ 3.1 เครื่องดึงอัตราความเครียดซ้ำที่สามารถปรับระดับอัตรา ความเครียดซ้ำได้.....	29
รูปที่ 3.2 กราฟปรับเทียบค่าแสดงความสัมพันธ์ระหว่างค่าแรงดึงที่อ่านได้ จาก LabVIEW ในรูปของความต่างศักย์ กับค่าแรงดึงที่อ่านได้จริง จาก SSRT machine.....	30
รูปที่ 3.3 กราฟปรับเทียบค่าแสดงความสัมพันธ์ระหว่างค่าความยาวที่เปลี่ยน แปลงไปของ gauge-length ในชิ้นงานที่อ่านได้จาก LabVIEW ในรูป ของความต่างศักย์ กับค่าแรงดึงที่อ่านได้จริงจาก SSRT machine.....	31
รูปที่ 3.4 ลักษณะการขัดวงของเพียงขนาด 60 และ 26 พิน ภายใน variation gear-box.....	32
รูปที่ 3.5 แผนภาพการทำงานภายใน variation gear-box.....	33
รูปที่ 3.6 ความสัมพันธ์ระหว่างความเคี้ยวและเบอร์เรชันต์การยืดออกของเหล็กกล้า ไรสันนิมเกรด 304 จากผลของอัตราความเครียดซ้ำต่างกัน 4 ระดับ ที่ได้รับจาก SSRT machine.....	38
รูปที่ 3.7 Chemical Cell ที่ใช้ในการทดลอง.....	38
รูปที่ 3.8 ส่วนประกอบของ Chemical Cell	37
รูปที่ 4.1 ลักษณะ และขนาดชิ้นงานทดสอบแรงดึงที่ใช้กับ SSRT machine ในการทดลอง.....	41
รูปที่ 4.2 เครื่องตัดชิ้นงาน Engraving Plotter ME-300.....	42
รูปที่ 4.3 เตาอบอุณหภูมิสูงที่ใช้ในการวนการเซนซิไท์เซ็น.....	42
รูปที่ 4.4 ชิ้นงานทดลองที่บรรจุอยู่ใน chemical cell ที่ต่อกับระบบหมุนเวียน สารละลาย.....	43
รูปที่ 5.1 กราฟแสดงความสัมพันธ์ระหว่างอัตราความเครียดซ้ำและ UTS ของเหล็กกล้าไรสันนิม 304.....	45

สารบัญ (ต่อ)

	หน้า
ภาพประกอบ	
รูปที่ 5.2 กราฟแสดงความสัมพันธ์ระหว่าง %Elongation และอัตราความเครียดช้า ของเหล็กกล้าไรีสันิม 304.....	46
รูปที่ 5.3 กราฟแสดงความสัมพันธ์ระหว่าง %Reduction in area และอัตราความเครียดช้า ของเหล็กกล้าไรีสันิม 304.....	46
รูปที่ 5.4 แสดงการกัดกร่อนที่เกิดขึ้นในเหล็กกล้าไรีสันิม 304 กลุ่มที่ 1 ในชิ้นงานที่ไม่ผ่านการเซนซ์ซิไทเซชัน อัตราความเครียด 4.0×10^{-7} วินาที $^{-1}$ และชิ้นงานที่เซนซ์ซิไทเซชัน 1 ชั่วโมง อัตราความเครียด 3.9×10^{-6} วินาที $^{-1}$	48
รูปที่ 5.5 การเปลี่ยนแปลงขนาดและความหนาแน่นของรอยแตก ในเหล็กกล้าไรีสันิม 304 กลุ่มที่ 1 จากผลของการเปลี่ยนแปลง อัตราความเครียดช้าในชิ้นงานที่ไม่ผ่านการเซนซ์ซิไทเซชัน	51
รูปที่ 5.6 การเปลี่ยนแปลงขนาดและความหนาแน่นของรอยแตก ในเหล็กกล้าไรีสันิม 304 กลุ่มที่ 1 จากผลของการเปลี่ยนแปลง อัตราความเครียดช้าในชิ้นงานที่ผ่านการเซนซ์ซิไทเซชัน 1 ชั่วโมง	51
รูปที่ 5.7 การเปลี่ยนแปลงขนาดและความหนาแน่นของรอยแตก ในเหล็กกล้าไรีสันิม 304 กลุ่มที่ 2 จากผลของการเปลี่ยนแปลง อัตราความเครียดช้าในชิ้นงานที่ผ่านการเซนซ์ซิไทเซชัน 2 ชั่วโมง	52
รูปที่ 5.8 การเปลี่ยนแปลงขนาดและความหนาแน่นของรอยแตก ในเหล็กกล้าไรีสันิม 304 กลุ่มที่ 2 จากผลของการเปลี่ยนแปลง อัตราความเครียดช้าในชิ้นงานที่ผ่านการเซนซ์ซิไทเซชัน 8 ชั่วโมง	52
รูปที่ 5.9 การเปลี่ยนแปลงขนาดและความหนาแน่นของรอยแตก ในเหล็กกล้าไรีสันิม 304 กลุ่มที่ 2 จากผลของการเปลี่ยนแปลง อัตราความเครียดช้าในชิ้นงานที่ผ่านการเซนซ์ซิไทเซชัน 24 ชั่วโมง	53
รูปที่ 5.10 กราฟแสดงความสัมพันธ์ระหว่าง crack-size และ strain-rate ที่เกิดขึ้นที่บริเวณด้านข้างของชิ้นงานเหล็กกล้าไรีสันิม 304	54
รูปที่ 5.11 กราฟแสดงความสัมพันธ์ระหว่าง pit-density และ strain-rate ที่เกิดขึ้นที่บริเวณด้านข้างของชิ้นงานเหล็กกล้าไรีสันิม 304	54
รูปที่ 5.12 การเกิดรอยแตกในเหล็กกล้าไรีสันิม 304 จากผลของเวลาที่ใช้ ในการเซนซ์ซิไทเซชันที่อัตราความเครียดช้า 1.10×10^{-4} วินาที $^{-1}$	56

สารบัญ (ต่อ)

	หน้า
ภาพประกอบ	
รูปที่ 5.13 การเกิดรอยแตกในเหล็กกล้าไร้สนิม 304 จากผลของเวลาที่ใช้ในการ เช่นซิไทเซชันที่อัตราความเครียดช้า 4.2×10^{-5} วินาที $^{-1}$	56
รูปที่ 5.14 การเกิดรอยแตกในเหล็กกล้าไร้สนิม 304 จากผลของเวลาที่ใช้ในการ เช่นซิไทเซชันที่อัตราความเครียดช้า 3.9×10^{-6} วินาที $^{-1}$	57
รูปที่ 5.15 การเกิดรอยแตกในเหล็กกล้าไร้สนิม 304 จากผลของเวลาที่ใช้ในการ เช่นซิไทเซชันที่อัตราความเครียดช้า 4.0×10^{-7} วินาที $^{-1}$	57
รูปที่ 5.16 ความสัมพันธ์ระหว่างระดับการ เช่นซิไทเซชัน ปริมาณของ โครเมียมคาร์ไบเด และระดับความลึกของการเกิดโกรเมียม คาร์ไบเดที่ขอบเกรน.....	58
รูปที่ 5.17 ลักษณะของ pit ที่เกิดขึ้นจากผลของอัตราความเครียดช้า และ การกัดกร่อนของสารละลายที่วิกฤตในเหล็กกล้าไร้สนิม 304 ที่ผ่านการ เช่นซิไทค์ 8 ชั่วโมง และได้รับอัตราความเครียดช้า 3.89×10^{-6} วินาที $^{-1}$	58
รูปที่ 5.18 ลักษณะของ pit ในเหล็กกล้าไร้สนิม 304 ที่ผ่านการ เช่นซิไทค์ 2 ชั่วโมง ที่อัตราความเครียดช้า 5.2×10^{-5} วินาที $^{-1}$ ที่ปราศจากการแพร่ของรอยแตก เนื่องจากได้รับอัตราความเครียดช้า และการกัดกร่อนที่ไม่เหมาะสม.....	59
รูปที่ 5.19 ความสัมพันธ์ระหว่างอัตราความเครียดช้าที่เปลี่ยนไปกับการเกิด SCC บริเวณภาคตัดขวางของเหล็กกล้าไร้สนิม 304 ที่ไม่ผ่านการ เช่นซิไทเซชัน.....	60
รูปที่ 5.20 ความสัมพันธ์ระหว่างอัตราความเครียดช้าที่เปลี่ยนไปกับการเกิด SCC บริเวณภาคตัดขวางของเหล็กกล้าไร้สนิม 304 ที่ผ่านการ เช่นซิไทเซชัน 1 ชั่วโมง.....	60
รูปที่ 5.21 ความสัมพันธ์ระหว่างอัตราความเครียดช้าที่เปลี่ยนไปกับการเกิด SCC บริเวณภาคตัดขวางของเหล็กกล้าไร้สนิม 304 ที่ผ่านการ เช่นซิไทเซชัน 2 ชั่วโมง.....	61
รูปที่ 5.22 ความสัมพันธ์ระหว่างอัตราความเครียดช้าที่เปลี่ยนไปกับการเกิด SCC บริเวณภาคตัดขวางของเหล็กกล้าไร้สนิม 304 ที่ผ่านการ เช่นซิไทเซชัน 8 ชั่วโมง.....	61

สารบัญ (ต่อ)

	หน้า
ภาพประกอบ	
รูปที่ 5.23 ความสัมพันธ์ระหว่างอัตราความเครียดช้าที่เปลี่ยนไปกับการเกิด SCC บริเวณภาคตัดขวางของเหล็กกล้าไร้สนิม 304 ที่ผ่านการ เช่นชีไทเซชัน 24 ชั่วโมง.....	62
รูปที่ 5.24 กราฟแสดงความสัมพันธ์ระหว่าง % Pit-area และ strain-rate ของเหล็กกล้าไร้สนิม 304	63
รูปที่ 5.25 การเกิด IGSCC บริเวณภาคตัดขวางของเหล็กกล้าไร้สนิม 304 ที่ผ่านการ เช่นชีไทเซชัน 8 ชั่วโมง อัตราความเครียดช้า 3.89×10^{-6} วินาที $^{-1}$ และการเกิด Ductile failure ในภาคตัดขวางของวัสดุที่ผ่าน การ เช่นชีไทเซชัน 1 ชั่วโมง อัตราความเครียดช้า 3.89×10^{-6} วินาที $^{-1}$	64
รูปที่ 5.26 แสดงความสัมพันธ์ระหว่าง crack -deep และ strain-rate ของเหล็กกล้าไร้สนิม 304	64
รูปที่ 5.27 แสดงความความสัมพันธ์ของ UTS ที่มีต่อห้องขนาดและความลึกของรอยแตก ของเหล็กกล้าไร้สนิม 304	65
รูปที่ 5.28 ความสัมพันธ์ระหว่างความเสียหายที่เกิดขึ้นจากผลของ SCC กับอัตราความเครียดช้าในแบบจำลอง strain rate damage model ของ Gerber และ Garud.....	66
รูปที่ 5.29 กราฟระหว่างช่วงเวลาที่เกิดความเสียหายและอัตราความเครียดช้า ของ alloy 600 ที่อุณหภูมิ 680°F	67
รูปที่ 5.30 กราฟความสัมพันธ์ระหว่างเวลาที่ทำให้วัสดุเกิดความเสียหายแบบ SCC และอัตราความเครียดช้าที่ได้จากการทดลองในเหล็กกล้าไร้สนิม 304.....	68
รูปที่ 5.31 รูปแบบความเสียหายที่เกิดขึ้นในชิ้นงานทดลองเหล็กกล้าไร้สนิม 304 ที่มีระดับการ เช่นชีไทเซชันต่างกันจากผลของอัตราความเครียดช้า และ environment assists cracking.....	69
รูปที่ 5.32 ความสัมพันธ์ระหว่างค่า p กับเวลาที่ใช้ในการ เช่นชีไทเซชัน ของเหล็กกล้าไร้สนิม 304	70
รูปที่ 5.33 ความสัมพันธ์ระหว่างค่า damage function และระดับการ เช่นชีไทเซชัน ในเหล็กกล้าไร้สนิม 304	71
รูปที่ 5.34 ความสัมพันธ์ระหว่างค่า crack-length และระดับการ เช่นชีไทเซชัน ในเหล็กกล้าไร้สนิม 304	71

สารบัญ (ต่อ)

ภาพประกอบ	หน้า
รูปที่ 5.35 ความสัมพันธ์แบบเชิงเส้นระหว่าง damage function และ crack-length กับค่า p ในเหล็กกล้าไร้สนิม 304	72
รูปที่ 5.36 ผลการทดสอบคุณสมบัติเชิงกลของเหล็กกล้าไร้สนิม 304 โดยใช้เทคนิค SSRT ที่ระดับอัตราความเครียด 1.75×10^{-6} วินาที $^{-1}$ ในสารละลายโซเดียมไทโอลซัลเฟต.....	73
รูปที่ 5.37 เปรียบเทียบค่า p-value กับปอร์เซ็นต์การเชื่อมต่อกันของการไฟเบอร์ที่บริเวณขอบเกรน ในการทำนายโครงสร้างจุลภาคที่เปลี่ยนแปลงไปของเหล็กกล้าไร้สนิม 304 จากกระบวนการเชนซ์ชิไทเซ็น.....	73



**ศูนย์วิทยทรัพยากร
จุฬาลงกรณ์มหาวิทยาลัย**